

名古屋大学 正会員 川村国夫

はじめに：本報告はさきに提示した軟弱地盤上：

盛土を建設する際の施工管理図(図1)に基づいて、
つて“当性と定性的な傾向を解析したところである。

応力-ひずみ関係；応力-ひずみ関係を論ずる観
模は、盛土が載荷された地盤の大ささと、これを
じろここといふ(図2)。ここで、歴史的条件下に
おこり、変形前($t=0$)→変形後($t=t$)の地盤
の高さ、断面積、半径を L_0 , A_0 , R_0 , L , A , R と
する。また、応力、ひずみの方向性は圧縮側をア
ラス、単位体積当たりの変形仕事率

$$\text{体積変形部分 } W_0 = \frac{1}{2} \sigma_0 \dot{\epsilon}_0 = \frac{1}{2} (\sigma_0 + \sigma_3) \dot{\epsilon}_0 + \dot{\epsilon}_3 \quad (1)$$

$$\text{形状変形部分 } W_1 = \frac{1}{2} \sigma_0 \dot{\epsilon}_0 + \frac{1}{2} \sigma_3 \dot{\epsilon}_3 = \frac{1}{2} (\sigma_0 - \sigma_3) (\dot{\epsilon}_0 - \dot{\epsilon}_3) \quad (2)$$

$$\text{結果、変形仕事率 } W = W_0 + W_1 = \frac{1}{2} (\sigma_0 + \sigma_3) \dot{\epsilon}_0 + \frac{1}{2} (\dot{\epsilon}_0 - \dot{\epsilon}_3) \quad (3)$$

これ、ある圧縮力を因みず車両で盛土現象も適用する。一方固定、高さ L の位置にある
地盤かじり(t) = $\frac{dL}{dt}$ と変形するものと考へらる。圧縮ひずみ ϵ_1 , ϵ_2 , ϵ_3 = $-\ln(\frac{L}{L_0})$ (4)

$$\text{圧縮ひずみ速度 } \dot{\epsilon}_1, \dot{\epsilon}_2, \dot{\epsilon}_3 = -\dot{\epsilon}_1 (L_0 L - L_0 L_0)/dt = -\frac{1}{L} \frac{dL}{dt} = +\frac{V(t)}{L} \quad (5)$$

$$\text{体積圧縮ひずみ速度 } \dot{\epsilon}_0, \dot{\epsilon}_0 = \dot{\epsilon}_1 + \dot{\epsilon}_3 \quad (6) \quad \text{体積 } V/2 \nabla = A \cdot L \quad \ln V = \ln A + \ln L \quad (7)$$

$$\text{微分形} : \text{はさみ} (V \text{ (圧縮側正)}) - \frac{1}{2} \frac{dV}{dt} = \frac{1}{2} \frac{dA}{dt} - \frac{1}{2} \frac{dL}{dt} \quad (6) \text{ より } \dot{\epsilon}_3 = -\frac{1}{2} \frac{dA}{dt} \quad (8)$$

$$\text{また (1)(2)(3) } W_0 = \frac{1}{2} (\sigma_0 + \sigma_3) (-\frac{1}{2} \frac{dA}{dt} - \frac{1}{2} \frac{dL}{dt}) \quad (1), \quad W_1 = \frac{1}{2} (\sigma_0 - \sigma_3) (+\frac{1}{2} \frac{dA}{dt} - \frac{1}{2} \frac{dL}{dt}) \quad (2)$$

応力-ひずみ関係を一般化、モルタルとするため、軟弱地盤上に載荷された盛土の沈下曲線を検討する。それによれば、沈下曲線は初期弾性、遅延弾性、粘性流動を有してくる。ただし、 α は体積変形部と形状変形部を含むとした態で出現するため、第一近似として、体積変形、形状変形を同じような変形等勢とするものと考える。

これを検証として、実際大地盤変形における、Burland や Walker の実験より体積変形、形状変形、等価剛性と整理すれば図3のようになる。ここで図3を参照して、体積変形は図4(a)より $\epsilon_0 = \frac{\sqrt{m}}{K_K} (1 - \exp(-K_K t)) + \frac{1}{\sqrt{m}} t$ (9)
形状変形は図4(b)より $\epsilon_1 = \frac{\sqrt{m}}{E_M} + \frac{\sqrt{m}}{E_K} (1 - \exp(-E_K t)) + \frac{\sqrt{m}}{E_M} \cdot t$ (10) $\dot{\epsilon}_1 = \frac{\sqrt{m}}{E_M} + \frac{\sqrt{m}}{E_K} \exp(-E_K t)$ (11)
よって (1)(2) $W_0 = \frac{1}{2} (\sigma_0 - \sigma_3)^2 \left[+ \frac{1}{E_M} + \frac{1}{E_K} (1 - \exp(-E_K t)) \right] \frac{t}{E_M}$

降伏条件、破壊標準考え方；力毎の降伏、破壊条件は Hencky-Huber の標準を基準とし、Reiner-Weisenberg のレーニンスの概念を適用する。すなはち、形状変形部と形状変形比と体積変形

に分かれるとかじりであるが、Reiner-Weisenberg の破壊標準とし、

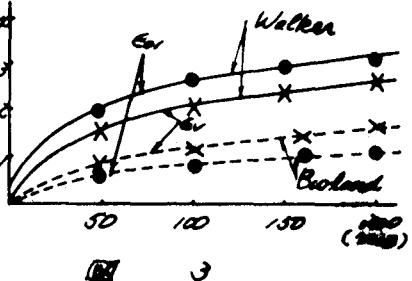
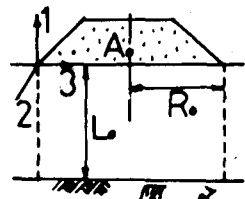
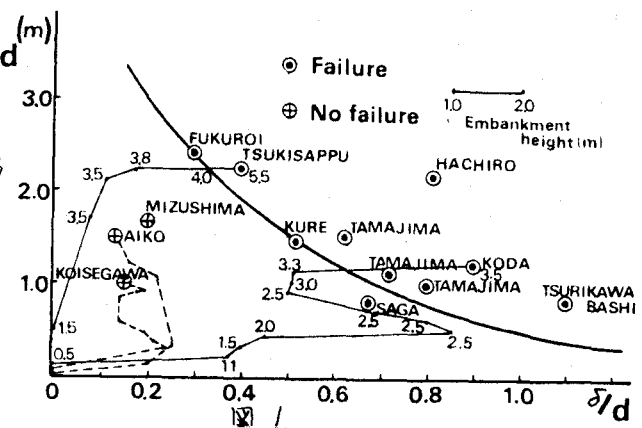
単位体積中に蓄えられる弾性ひずみエネルギーに注目した。

Bargraph 基伏、破壊条件；前述したように、形状変形を Barges

body と仮定したとき、Bargraph 破壊レシニエンスを二つ定義する。

3. Bargraph の固有要素と Maxwell 要素と Voigt 要素の直列に

つながったモデルであるため、二つから一方の法則が成立する。



12 P-Bunge body は破壊すると考えられる。11, 12, Maxwell 要素、破壊条件は $\sigma_{oc} = \sqrt{2E_M \cdot E_F}$ 112)

2 破壊したときの変形速度 $\dot{\epsilon}_{oc}$ $\dot{\epsilon}_{oc} = \frac{\sigma_{oc}}{E_M} + \frac{1}{\lambda_M} \sqrt{2E_M \cdot E_F}$ 定荷重 $\dot{\sigma}_{oc} = 0 \Rightarrow \dot{\epsilon}_{oc} / \dot{\epsilon}$

$$\dot{\epsilon}_{oc} = \frac{1}{\lambda_M} \sqrt{2E_M \cdot E_F} \quad \therefore \dot{\epsilon}_{oc} = \dot{\epsilon}_{oc,s} + \frac{\sqrt{2E_F}}{E_M}$$

Voigt 要素、破壊条件 $\sigma_{oc} = \sqrt{2E_F v / E_K}$ 113), $\epsilon_{oc} = 0$ 静的試験にかけた破壊時の応力

$$\text{差加力 } \sigma_{oc,s} \text{ と } \dot{\epsilon}_{oc,s} \quad \sigma_{oc,s} = \sqrt{2E_K E_F v} \quad \therefore \quad \dot{\sigma}_{oc} = \dot{\sigma}_{oc,s} + \lambda_K \dot{\epsilon}_{oc,s} \quad 114)$$

今までの研究成績より考察すれば、土を土は Voigt 要素を用いて破壊するときのことを想定する。11とえれば(14)より、破壊荷重がひずみ速度によつて変化するこつは過去の実験からも知られてゐる。Shempton & Taylor & Carapetis の実験結果をまとめたひずみ速度による破壊時の応力の影響はまさにこの事実をもつた。115)。

$$\text{圧縮変形速度 } (\text{大}) \text{ は } (5) \text{ より } \dot{\epsilon}(t) = \dot{\epsilon}_c \cdot L, \text{ すなは } \dot{\sigma}(t) = \int \frac{\sigma_0}{E_K} \exp(-\frac{K_K t}{E_K}) + \frac{\sigma_m}{E_M} + \frac{1}{A} \frac{dA}{dt} \cdot L \quad 116)$$

$$\text{一方}, \dot{\epsilon}_{oc} = \dot{\epsilon}_c - \frac{E_F}{E_M} \text{ おり, } \frac{\sigma_0}{E_K} + \frac{\sigma_m}{E_M} e^{-\frac{E_F}{E_K} t} = \frac{2}{3} \left\{ \frac{\sigma_m}{E_K} e^{-\frac{E_F}{E_K} t} + \frac{\sigma_m}{E_M} \right\} + \frac{1}{A} \frac{dA}{dt} \quad 117)$$

$$116)(17) \text{ より横方向の変位比次下は } A = A_0 e^B \quad 118), \quad L = L_0 e^C \quad 119) \quad \therefore B = \left\{ \frac{\sigma_0}{E_M} + \frac{\sigma_m}{E_K} \left(1 - e^{-\frac{E_F}{E_K} t} \right) + \frac{\sigma_m}{E_M} t \right\} - \frac{1}{A} \left\{ \frac{\sigma_m}{E_K} \left(1 - e^{-\frac{E_F}{E_K} t} \right) + \frac{\sigma_m}{E_M} t \right\}$$

すなはち、図 1(a) (d ~ $\frac{d}{d} \alpha$) の施工管理図に前記の(8) (19) を適用する。すなはち圧縮則、引張強則。

$$R = \frac{\sigma_{oc}}{\sigma} = \frac{R_0 + \sigma}{L_0 e^C} \quad \text{変形 } L \leq d = R_0 \{ \exp(B - C) - 1 \} \quad 120) \quad \text{すなはち破壊時の } (d \sim \frac{d}{d} \alpha) \text{ の関係は}$$

$$d = \frac{R_0 \exp(B_f - C_f) - 1}{R_0 \exp(B_f - C_f)} \quad 121) \quad B_f, C_f; \quad \alpha = \alpha_f \rightarrow B, C \text{ の値}$$

すなはち、ある一定の盛土厚度 d ($d \sim \frac{d}{d} \alpha$) の施工管理図における時間経過しながら変形を大きくなる方向

で(20)を満足する曲線上を移動し、 $d \sim \frac{d}{d} \alpha$ (121) の曲線上で破壊するところである。

各種盛土の強度例は(11)とも式(21)が適用されるかどうか検討してみる。まず式(21)の $\exp(B_f - C_f)$ の項目検討

$$123). \quad B_f - C_f = \frac{1}{2} \left\{ \frac{\sigma_0}{E_M} + \frac{\sigma_m}{E_K} \left(1 - e^{-\frac{E_F}{E_K} t} \right) + \frac{\sigma_m}{E_M} t_f \right\} - \frac{1}{2} \left\{ \frac{\sigma_m}{E_K} \left(1 - e^{-\frac{E_F}{E_K} t} \right) + \frac{\sigma_m}{E_M} t_f \right\} \quad 122) \quad \therefore \text{各盛土は施}$$

工上で强度強度をオフセット係数をもつて統一して扱うと仮定して以下で議論を行つよう。各盛土に近い

$$\dot{\epsilon}_{oc} = \frac{\sigma_0}{E_K} \left(1 - e^{-\frac{E_F}{E_K} t_f} \right) = \sqrt{\frac{\sigma_0}{E_K}} = \text{const} \quad \text{前記の破壊規準より}$$

$$\frac{2}{3} \frac{\sigma_0}{E_K} \left\{ \frac{\sigma_0}{E_M} + \frac{\sigma_m}{E_K} \left(1 - e^{-\frac{E_F}{E_K} t} \right) + \frac{\sigma_m}{E_M} t_f \right\} - \frac{1}{3} \frac{\sigma_m}{E_K} \sqrt{2E_F E_K} - \frac{\sigma_m}{E_K} \exp(-\frac{K_K \lambda_K}{E_F E_K}) - \frac{\lambda_K}{E_F E_K} \ln \left(\frac{1}{\sigma_0} \sqrt{2E_F E_K} \right)$$

$$= B_f - C_f \quad \therefore \frac{\sigma_0}{E_M} \frac{\sigma_0}{E_K} \approx 0, \quad 1/n \left(1 - \sqrt{\frac{E_F E_K}{E_M E_K}} \right)^{1/2} \approx 1/n \left(1 - \sqrt{\frac{E_F E_K}{E_M E_K}} \right), \quad \frac{\sigma_0}{\sigma_0} = \text{const} \frac{\sigma_m}{\sigma_0} = \text{const}, \quad \exp(-\frac{K_K \lambda_K}{E_F E_K}) \approx 1$$

すなはち $B_f - C_f = \text{const}$

すなはち上記を満足するようならオフセット係数をとるとそれが式(21)の $\exp(B_f - C_f)$ は一定となる。しかし、実際には各強度強度を近似的に同じオフセット係数をとると、強度があるため、実測値をとらべて、各オフセット係数を求めてみた。

レオルジー定数を求めるのが使用した盛土の強度例は、東田盛土と白寒川盛土である。すなはち、東田盛土は軟弱地盤の中でも $C_u = 3 \text{ kN/m}^2$ と比較的強度が高いため

強度と強度が低く、 $C_u = 0.5 \sim 0.8 \text{ kN/m}^2$ などである。この

ため、これは(13)の強度の強度の上限と下限に存在

してあると見えられ、他の強度層はほとんどなく、これは(13)

の中间に位置するところである。図 5 はこれらのレオルジー定数と実際の盛土の強度を参考とした盛土の諸元を

式(21)に入れてえた図である。図 5 は多カ所から取った

ものがあるが、そのうちの一つの強度は施工管理図として

使用に耐えうるところである。ただし、吉井細川は

このことは当日発表させていただきます。

